



استفاده از ریزساختار بلورهای کوارتز و کلسیت و شاره‌های درگیر در تحلیل شرایط دگرشکلی و برآورد خاستگاه سیستم رورانده‌ی کوهزاد زاگرس در منطقه‌ی بختیاری

مسعود نعمتی^۱، علی یساقی^{*۱}، محمد رضا کمالی^۲

۱- گروه زمین‌شناسی دانشگاه تربیت مدرس

۲- مرکز مطالعات اکتشاف و تولید، پژوهشگاه صنعت نفت

(دریافت مقاله: ۸۸/۴/۲۵، نسخه نهایی: ۸۸/۱۰/۱۲)

چکیده: بررسی ساختاری از زاگرس مرتفع و جنوب غربی پهنه‌ی سنتندج-سیرجان در منطقه‌ی چهار محال و بختیاری منجر به شناسایی یک سیستم گسل‌های رورانده شده است که از شمال شرقی به‌سمت جنوب غربی شامل برگه‌های رورانده‌ی بن، هفشجان، فارسان، کوهزنگ و بازفت می‌باشد. در این مقاله با استفاده از بررسی ریزساختاری دانه‌های کوارتز و کلسیت و نیز شاره‌های درگیر درون بلورها، شرایط دگرشکلی این سیستم برگه‌های رورانده تحلیل شده‌اند. بررسی ریزساختاری دانه‌های کوارتز از برگه‌های رورانده بن و هفشجان و پهنه‌های گسلی قاعده‌ای آن‌ها، نشانده‌نده‌ی وجود شواهدی از دگرشکلی شکل‌پذیر بوده است به‌گونه‌ای که دمای دگرشکلی 250°C تا 350°C را برای این برگه‌ها نشان می‌دهند. همچنین بررسی زمین‌گرماسنجی با استفاده از ماکلهای مکانیکی کلسیت نمونه‌های این برگه‌ها نیز نشان‌دهنده دمای 250°C برای آن‌هاست. بررسی شاره‌های درگیر رگه‌های کوارتز این برگه‌های رورانده نیز دمای همگونی 220°C را برای ادخال‌های اولیه نشان می‌دهد. این بررسی‌های زمین‌گرماسنجی نشان می‌دهند که شرایط فیزیکی دگرشکلی در زاگرس مرتفع و حاشیه‌ی جنوب غربی پهنه‌ی ساختاری سنتندج-سیرجان دارای اختلاف چشمگیری نیستند؛ گرچه دمای دگرشکلی به‌طور عمومی از بخش داخلی تر به خارجی تر کوهزاد زاگرس کاهش می‌باید. این داده‌ها بیانگر آن است که منطقه‌ی بین برگه‌های رورانده بن و هفشجان، که به‌عنوان حاشیه‌ی جنوب غربی پهنه‌ی ساختاری سنتندج-سیرجان و بخش داخلی کوهزاد زاگرس در نظر گرفته می‌شود، ویژگی‌های یک گستره‌ی انتقالی را نشان می‌دهد. بنابراین برگه‌های رورانده‌ی فارسان یا گسل اصلی وارون زاگرس، که به‌عنوان مرز بین بخش داخلی و خارجی کوهزاد زاگرس در نظر گرفته می‌شود چنین ویژگی را نداشته و انتقال از پهنه‌ی ساختاری سنتندج-سیرجان به‌عنوان بخش داخلی به زاگرس مرتفع یا بخش خارجی کوهزاد زاگرس به صورت پهنه‌ای انتقالی مشکل از یک سیستم راندگی است که به‌طور جزئی درگیر بودن پی سنگ را نیز نشان می‌دهد.

واژه‌های کلیدی: زاگرس مرتفع، برگه‌های رانده، ریزساختار کوارتز، شاره‌های درگیر.

مدل‌های زمین‌ساختی ستبرپوسته یا نازک‌پوسته است [۱،۲].

مقدمه

نحوه‌ی تفسیر زمین‌ساختی حاکم بر یک کمریند چین‌خورده-رانده، بر نحوه‌ی تفسیر تاریخچه‌ی دگرشکلی، تکامل حوضه‌ی رسوی و پی‌جویی هیدروکربوری در آن اثر خواهد داشت [۳،۱].

چگونگی رابطه‌ی پی‌سنگ و پوشش رسوی به‌هنگام دگرشکلی از مسائل بسیار در تفسیر خاستگاه ساختارها در کمریندهای چین‌خورده-رانده است. این رابطه اساس انتخاب یکی از

* نویسنده مسئول، تلفن: ۸۲۸۸۳۴۰۶ (۰۲۱)، نامبر: ۸۲۸۸۳۴۶۰ (۰۲۱)، پست الکترونیکی: Yassaghi@modares.ac.ir
در کمربندهای چین خورده-رانده نازک پوسته، راندگی‌ها خاستگاه کم عمق دارند و به یک جدایش در مرز پوشش ته-

نشستی و پی‌سنگ می‌پیوندد؛ بنابراین ساختارهای دگرشکلی در پهنه‌های گسلی و برگه‌های رورانش بیشتر شرایط شکنای دگرشکلی را نشان می‌دهند [۴، ۵]. در کمربندهای چین خورده-رانده ستبر پوسته، راندگی‌ها خاستگاه عمیق‌تر دارند و در پی‌سنگ نفوذ می‌کنند؛ بنابراین ساختارهای دگرشکلی در این مناطق، بیشتر شرایط شکل‌پذیر دگرشکلی را نشان می‌دهند [۶ تا ۸].

تعیین شرایط دگرشکلی پهنه‌های گسلی و برگه‌های رورانده راهنمایی بر تبیین خاستگاه آن‌هاست [۹ تا ۱۱]. از روش‌های مختلف زمین‌گرما- فشارسنجی چون تحلیل ریز ساختارهای دگرشکلی پویای کوارتز، ماکلهای دگرشکلی کلسیت و تعادل ترمودینامیکی کانی‌های دگرگونی و شاره‌های درگیر می‌توان در تعیین شرایط دگرشکلی استفاده کرد [۱۰، ۱۱ تا ۱۹].

بررسی ساختاری در گستره‌ی زاگرس مرتفع و بخش جنوب غربی پهنه‌ی سندج- سیرجان در منطقه‌ی چهارمحال و بختیاری منجر به شناسایی یک سیستم گسل‌های رانده در این منطقه شده است (شکل ۱). این سیستم راندگی، بر اساس تحلیل هندسی و جنبشی ساختارهای پهنه‌های گسلی قاعده‌ای برگه‌های راندگی، به دو بخش داخلی با سرشت ستبر پوسته همراه با درگیری پی‌سنگ، و خارجی با سرشت نازک پوسته تقسیم شده است (شکل ۲) که در آن، سنگ‌های بخش داخلی در شرایط فیزیکی عمیق‌تری دگرشکل شده‌اند. [۲۰، ۲۱].

بررسی شرایط دگرشکلی این سیستم برگه‌های روراند و به دست آوردن اطلاعات دقیق‌تر و کمی‌تر از ژرف‌ها و نوع دگرشکلی آن‌ها از مسائل اصلی در تحلیل جایگاه زمین‌ساختی- زمین ساختاری این برگه‌های رورانده در کوهزاد زاگرس است. در این بررسی، با استفاده از آگاهی از ریزساختار دانه‌های کوارتز و کلسیت و چگونگی گسترش فرایند دگرشکلی در آن‌ها و نیز بررسی شاره‌های درگیر موجود در دانه‌های کوارتز، شرایط دگرشکلی سیستم برگه‌های رورانده کوهزاد زاگرس در گذر از بخش داخلی به خارجی آن تحلیل شده است. از نتایج چنین

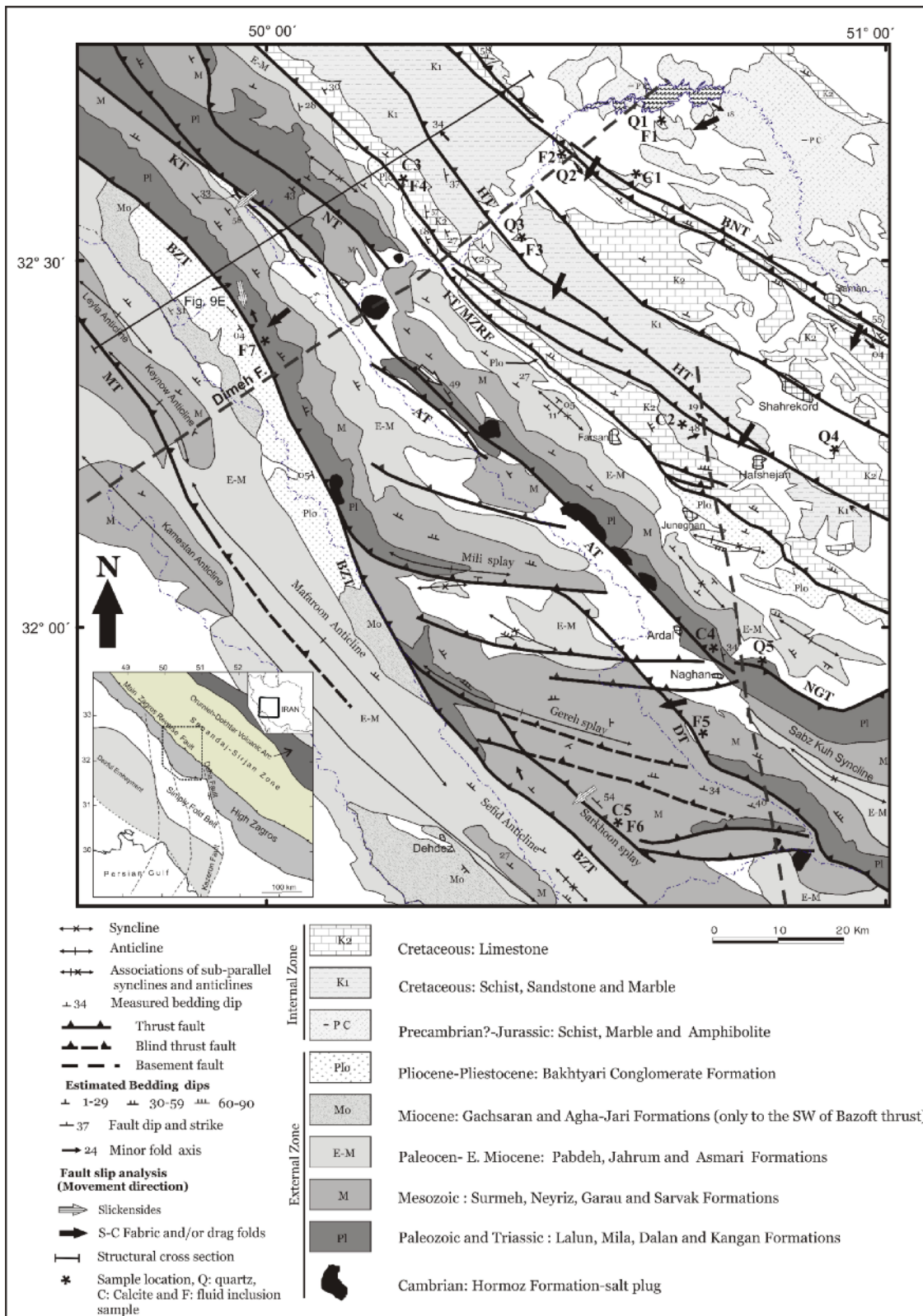
بررسی، شرایط فیزیکی دگرشکلی و خاستگاه این برگه‌های رورانده و چگونگی درگیری پی‌سنگ در آن‌ها بیان شده است.

زمین‌شناسی منطقه‌ی مورد بررسی

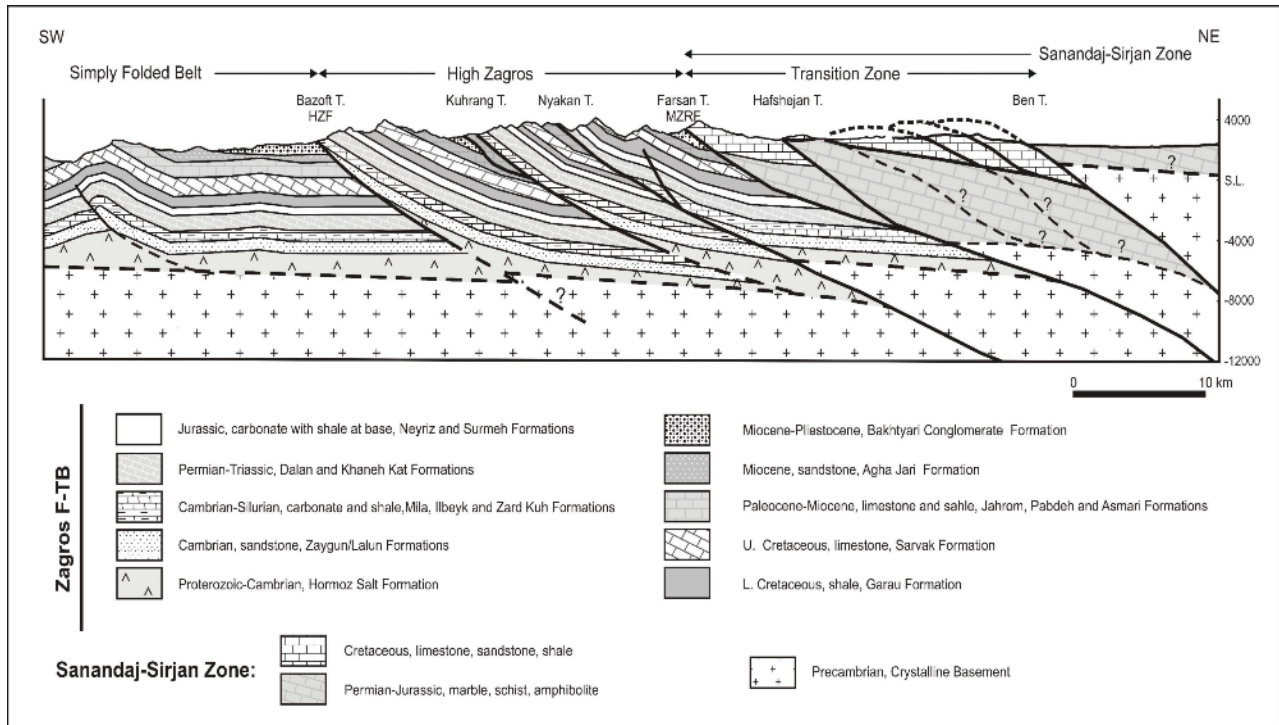
منطقه‌ی مورد بررسی در بخش زاگرس بلند و حاشیه‌ی جنوب غربی پهنه‌ی سندج- سیرجان منطقه‌ی بختیاری قرار دارد (شکل ۱). رو راندگی‌های با روند شمال غربی و شیب شمال شرقی از ساختارهای مهم منطقه‌ی مورد بررسی است که به ترتیب از شمال شرقی به جنوب غربی شامل رو راندگی‌های بن، هفشوچان، فارسان، نیاکان، کوهرنگ- اردل، دوپلان و بازفت هستند (شکل‌های ۱ و ۲). بر اساس جایگاه روراندگی‌هایی که در منطقه‌ی انتقالی از پهنه‌ی سندج- سیرجان به عنوان بخش داخلی با زاگرس بلند به عنوان بخش خارجی کوهزاد قرار دارند، به دو گروه شمال شرقی و جنوب غربی تقسیم شده‌اند [۲۰، ۲۱] که مرز آن‌ها را روراندگی فارسان که بخشی از گسل اصلی زاگرس (Main Zagros Reverse Fault) است تشکیل می‌دهد (شکل ۲). واحدهای سنگی در برگه‌های جنوب غربی گسل فارسان بیشتر به صورت یکنواخت به سمت شمال شرقی شیب دارند و جز در نزدیکی پهنه‌های گسلی قاعده‌ای، برگه‌ها دگرشکلی زیادی نشان نمی‌دهند. در حالی‌که دگرشکلی در روراندگی‌های واقع در شمال شرقی گسل فارسان شدیدتر بوده و فقط محدود به پهنه‌های گسلی قاعده‌ای برگه‌های رورانده نبوده و در تمام راندگی‌ها منتشر شده است.

در هر یک از روراندگی‌های جنوب غربی، دنباله‌ی نسبتاً کاملی از رسوبات زاگرس رخنمون دارد. این رسوبات به طور کلی شبیه به بخش‌های خارجی زاگرس است ولی تفاوت‌هایی نیز در آن دیده می‌شوند. چینه‌شناسی بخش‌های شمال شرقی منطقه، به دلیل تاثیر گسل‌ش راندگی و به هم ریختگی دنباله‌ی رسوبی و وجود واحدهای نابرجای متعدد نمونه‌های مناسبی در این منطقه گردآوری نشده‌اند. در گستره‌ی بین راندگی بن و فارسان رسوبات بیشتر کربناتی همراه با سنگ‌های تخریبی کرتاسه که در درجه‌ی بسیار پائین دگرگون شده‌اند گسترش دارند. در شمال شرقی راندگی بن، سنگ‌های کربناتی و تخریبی و آتش‌فشانی پرمین- ژوراسیک و سنگ‌های دگرگونی

درجهی متوسط و بالا شامل گنیس، آمفیبولیت و گارنت های با رخساره اکلوزیت نیز گزارش شده است [۲۶]. شیست رخمنون دارند [۲۷ تا ۲۲] که در درون آنها سنگ-



شکل ۱ نقشه ساختاری بخش گذار از مناطق داخلی به خارجی کوهزاد زاگرس در منطقه‌ی بختیاری. برای مشاهده برش به شکل ۲ مراجعه شود. از جنوب به شمال: MT راندگی مافارون، BZT راندگی بازفت، DP راندگی کوهرنگ، AT راندگی اردل، NGT راندگی



نagan, NT راندگی نیاکان، FT راندگی فارسان، HF راندگی هفشجان و BNT راندگی بن.

شکل ۲ برش ساختاری عمود بر روند زاگرس از گستره گذار از پهنه‌ی ساختاری سنتنج سیرجان به زاگرس چین خورده در منطقه‌ی بختیاری. در بخش‌های خارجی تر پی‌سنگ در دگرشکلی درگیر نیست ولی در بخش‌های داخلی تر، دگرشکلی درگیر شده است. موقعیت برش روی شکل ۱ مشخص شده است.

منطقه مورد بررسی و روی برگه‌های هفشجان و فارسان گسترش دارند از گسل راس این سیستم دوگانه ریشه گرفته‌اند. با توجه شکنا بودن ساختارهای گسلی قاعده این سفره‌های راندگی، سطح جدایشی این سیستم دوگانه باید کم عمق بوده و درون پوشش رسوبی قرار داشته باشد (شکل ۲).

روراندگی هفشجان، با روند شمال غربی، در فاصله‌ی تقریباً ۲۰ کیلومتری جنوبی غرب راندگی بن واقع شده است (شکل ۱). شیب گسل قاعده این برگه به سمت شمال شرقی است و بیشتر نشانگرهای جنبشی جابه‌جایی شیب لغز این برگه را به سمت جنوب غربی نشان می‌دهند. سنگ‌های گسلی پهنه‌ی قاعده‌ای برگه‌ی راندگی هفشجان ساختارهای شکنا-شکل‌پذیر نیز نشان می‌دهند و ساختارهای S-C و چین‌های کوچک و رگه‌های دگرشکل شده کوارتز در آن‌ها به خوبی گسترش یافته است. برگه راندگی هفشجان بیشتر از سنگهای تخریبی و به

روزاندگی‌ها

در این بخش جزئیاتی از ویژگی‌های ساختاری روراندگی‌های منطقه‌ی بختیاری را که از بخش‌های داخلی تر به بخش‌های خارجی کوهزاد زاگرس عبارتند از روراندگی بن، هفشجان، فارسان، نیاکان، اردل-کوهرنگ، دوپلان و بازفت [۲۱، ۲۲]، مورد بررسی قرار می‌دهیم.

پهنه‌ی برشی قاعده‌ای روراندگی بن شامل مجموعه‌ای از راندگی‌های با شیب به سمت شمال شرقی است که سنگ‌های کربناتی کرتاسه و پرمین را روی مجموعه‌های پلیتی و تخریبی کرتاسه و پالئوسن برگه هفشجان قرار داده است. شاخه‌های فرودیواره‌ای راندگی بن به سمت جنوب غربی انتشار یافته و یک سیستم دوگانه (Duplex) را ایجاد کرده‌اند (شکل ۲). گسل راس و بخش بالایی خرک‌های این سیستم فرسایش یافته است. به نظر می‌رسد که سفره‌های نایرجای کربناتی که در شرق

جایی گسل بازفت به شاخه‌های واگرای گسل و نیز راندگی‌های دیگر بویژه راندگی دوگانه‌ای توزیع می‌شود. سنگ‌های پهنه‌ی گسلی بازفت مشابه برگه‌ی راندگی مافارون ساختارهای شکنا دارند (شکل ۱).

روش بررسی

برای بررسی شرایط دگرشکلی روراندگی، با توجه به حساسیت ریزساختارهای کانی‌های کلسیت و کوارتز نسبت به دمای دگرشکلی، از این کانی‌ها استفاده شده است. در بسیاری از رگه‌های کوارتز، کلسیت نیز نهشته شده است که امکان برآورد و مقایسه‌ی دمای دگرشکلی با استفاده از ریزساختارهای این دو کانی را فراهم می‌آورد. نمونه‌ها از پهنه‌های گسلی و روراندها انتخاب شده‌اند. در بخش جنوب غربی منطقه که رگه‌های کوارتز گسترش ندارند، از نمونه‌های کربناتی سنگ زمینه و نیز از کلسیت پر کننده‌ی شکستگی‌ها استفاده شده است. نمونه‌های شاره‌های درگیر از رگه‌های همزمان با دگرشکلی دارای کوارتز و کلسیت و از پهنه‌های گسلی و رورانده انتخاب شدند. بررسی ریزساختارها با میکروسکوپ نوری و با استفاده از ملاک‌های [۱۶ تا ۱۴] و بررسی شاره‌های درگیر بر اساس روش ارائه شده توسط [۱۹] انجام گردیده است.

زمین دماسنگی با استفاده از ریزساختارهای کوارتز

بررسی ریزساختار روی دانه‌های کوارتز موجود در نمونه‌های گرفته شده از برگه‌ها و پهنه‌های گسلی قاعده‌ای روراندهای بن، هفسچان و ناغان انجام شده است.

ریزساختارهای دگرشکلی دانه‌های کوارتز در نمونه‌ای از شیسته‌های شمال شرقی روراندهی بن (نمونه Q1، شکل ۱) شامل خاموشی جارویی و وصله‌ای قوی، گسترش زیردانه‌های (Subgrains) درشت، تبلور گستردگی دوباره و شواهد رشد (Core and Mantle Structure) دانه‌های جدید به صورت ساختار هسته-حاشیه (Shelf Mantle Structure) هستند (شکل ۳ الف). با توجه به این ساختارها، این نمونه معادل ریزساختارهای آزمایشگاهی در رژیم ۲ [۱۵] بوده و بیشتر با ساز و کار تبلور دوباره از نوع چرخش زیردانه‌ای (Subgrain Rotation) در دمای حداقل ۳۰۰ درجه [30] دگرشکل شده است. در نمونه‌ای از گستره‌ی راندگی بن، از یک رگه‌ی کوارتز دگرشکل شده (نمونه Q2، شکل ۱)، ریز ساختارهای دگرشکلی عبارتند از خاموشی موجی و وصله‌ای شدید و فراوان، تیغه‌ی دگرشکلی، گسترش زیردانه‌ها، مرزهای دندانه‌ای دانه‌ها و ساختارهای برآمدگی مرز دانه (Grain

مقدار کمتری کربناتی با درجه‌ی پائین دگرگونی تشکیل شده است.

گسل قاعده‌ای روراندهی فارسان همان گسل اصلی واژگون زاگرس است که در منطقه‌ی بختیاری هندسه کم و بیش یکنواختی دارد. کمربالای گسل از سنگ آهک ضخیم لایه و توده‌ای تشکیل شده که سن آن کرتاسه تعیین شده است [۲۲، ۲۶] (شکل ۱). این سنگ‌ها که نزدیک به پهنه‌ی گسلی قاعده‌ای برگه‌ی فارسان بهشت خرد شده هستند، در بسیاری از بخش‌های مرکزی زاگرس مرتفع گزارش شده و بنام پهنه‌ی خرد شده (Crush Zone) نامیده شده‌اند [۲۷]. سنگ‌های فرودیواره‌ای گسل قاعده‌ای برگه‌ی فارسان از کنگلومرای بختیاری، برگه‌های نیاکان و اردل تشکیل شده است که معمولاً به سمت شمال شرقی کج شده‌اند و در برخی نقاط با محور شمال غربی چین خورده‌اند [۲۴]. گسترش ساختارهای شکل-پذیر دگرشکلی در برگه‌ی فارسان در مقایسه با برگه‌ی هفسچان بسیار کمتر است [۲۱].

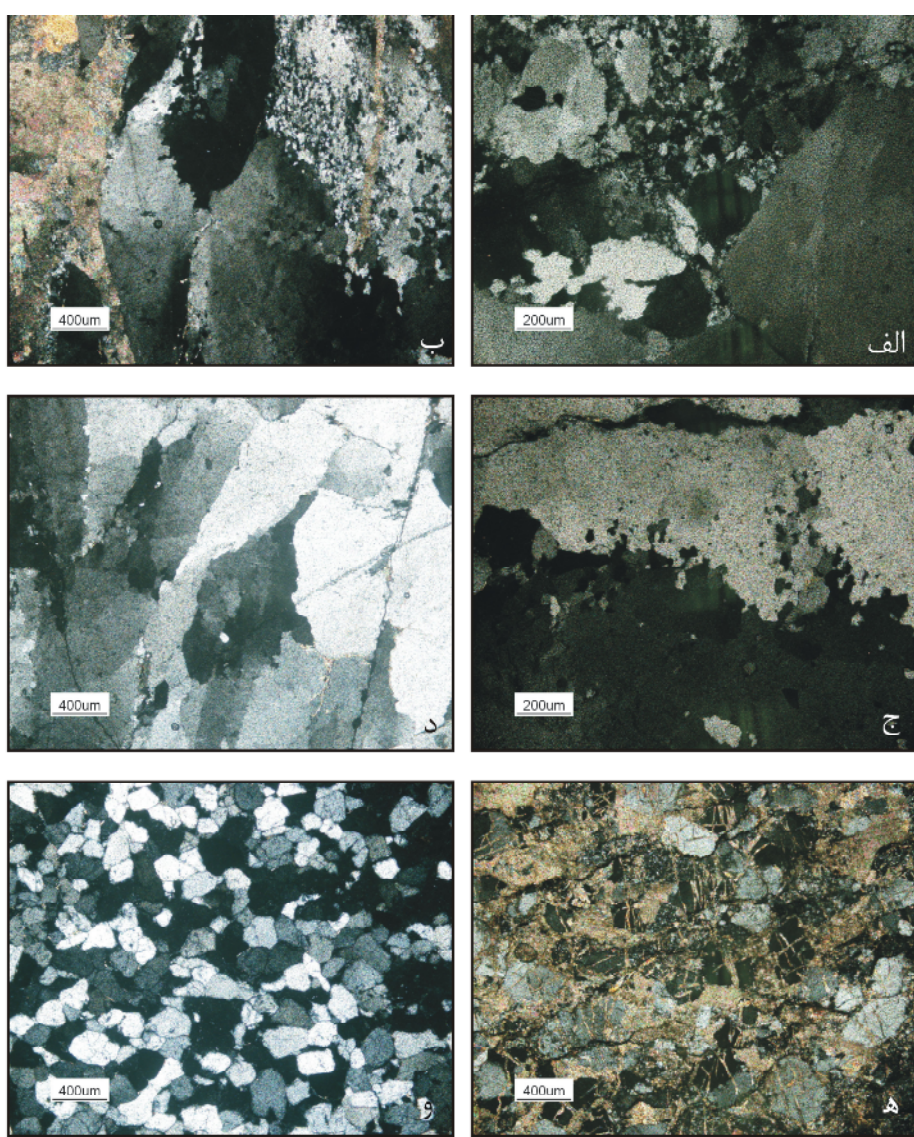
روراندگی اردل-کوهنگ از واحدهای سنگی پالئوزوئیک تا میوسن با شبیب به سمت شمال شرقی تشکیل شده است که به سمت جنوب غربی روی کنگلومرای بختیاری و آهک‌های الیگومیوسن برگه‌ی بازفت رانده شده است (شکل ۱). سنگ‌های گسلی گسل قاعده‌ای این روراندگی، ساختار دگرشکل و شکنا نشان می‌دهند.

راندگی دوپلان در جنوب غربی راندگی اردل قرار دارد و محدود به جنوب شرقی منطقه است (شکل ۱). جایی این گسل به سمت شمال غربی کاهش می‌یابد و درون روراندگی بازفت محو می‌شود. لایه‌های پالئوزوئیک زیرین در رو راندگی دوپلان روی آهک‌های کرتاسه بالایی سازند سروک رانده شده و به سطح رسیده‌اند. در بخش‌های شمال شرقی آن پهنه‌های پیوندی (Connecting splay) [۲۸] بین این گسل و راندگی بازفت در جنوب غربی دیده می‌شوند.

روراندگی بازفت، جنوبی‌ترین رو راندگی در کمربند زاگرس بلند در منطقه‌ی بختیاری است که به عنوان مرز زاگرس بلند و کمربند ساده‌ی چین خورده زاگرس (Simply Fold Belt) در نظر گرفته شده است [۲۹]. رو راندگی بازفت از دنباله کاملی از سازندهای کامبرین تا پلیستوسن تشکیل شده است که به سمت شمال شرقی یا شمال شبیب دارند (شکل ۱). جایی گسل بازفت به سمت جنوب شرقی کاهش می‌یابد و بخشی از جایه-

در نمونه‌ای که از سنگ‌های آواری نزدیک به پهنه‌ی گسلی قاعده‌ای رورانده‌ی هفسچجان گرفته شده (نمونه Q3، شکل ۱)، ریزساختارهای دگرشکلی کوارتز، بیشتر به صورت خاموشی موجی و وصله‌ای فراوان، زیردانه‌های فراوان، تیغه‌های دگرشکل، برآمدگی مرز دانه به صورت دانه‌های نوزاد بسیار ریز و دیواره‌ای دندانه‌ای دانه‌ها دیده می‌شوند. در این نمونه درصد ریزهای بلوار دوباره بسیار کم است و در آن شکستگی‌های حجمی تبلور دوباره بسیار کم است و در آن شکستگی‌های درون بلواری فراوان ترند (شکل ۳ ج و د). این ساختارها غلبه‌ی رژیم ۱ دگرشکلی [۱۵] و دمای دگرشکلی کمتر از ۳۰۰ درجه را برای این نمونه و رورانده‌ی هفسچجان نشان می‌دهند.

در این نمونه ساختار Boundary Bulging (شکل ۳ ب). در این نمونه هسته-حاشیه نیز دیده می‌شود ولی فراوانی آن نسبت به نمونه-درون رورانده‌ی بن کمتر است. همچنین شکستگی‌های درون بلواری که با کلسیت پر شده باشند نیز به ندرت دیده می‌شوند. مجموعه‌ی این ساختارها نشان می‌دهند که این نمونه در در دمای کمتری نسبت به نمونه Q1 دگرشکل شده است (شکل‌های ۳ الف و ب مقایسه شوند). دمای دگرشکلی این نمونه بر اساس اندازه‌گیری‌های [۳۰] کمتر از ۳۰۰ درجه سانتی‌گراد برآورد می‌شود.



شکل ۳ ریز ساختارهای موجود در دانه‌های کوارتز از رورانده‌های منطقه‌ی بختیاری در زاگرس مرتفع. الف) شمال شرقی راندگی بن که در آن خاموشی موجی، رشد زیر دانه‌ها و ساختار هسته-حاشیه دیده می‌شود و نشانگر غلبه ساز و کار دگرشکلی تبلور دوباره چرخش زیر دانه است. دانه-

ی کوارتز آمیبی شکل که در پائین-چپ تصویر دیده می‌شود فعال بودن ساز و کار دگرشکلی مهاجرت مرز دانه را نیز نشان می‌دهد. ب) گستره‌ی راندگی بن، نشان‌دهنده ساختارها و شرایط دگرشکلی مشابه الف است. ج و د) گستره‌ی گسل هفسنجان که در آن خاموشی موجی و زیر دانه‌ها غالب هستند و دانه‌های جدید ریز در راستای مرز دانه‌ها تشکیل شده‌اند. این ساختارها فعال بودن ساز و کارهای دگرشکلی تبلور دوباره چرخش زیر دانه و برآمدگی مرز دانه را نشان می‌دهند.^{۵)} گستره‌ی بین راندگی بن و هفسنجان که در آن ریز ساختارهای مربوط به شرایط دمای پائین دگرشکلی مانند انحلال فشاری و شکستگی‌های درون بلوری و به مقدار کمتری خاموشی دیده می‌شود. و) کوارتز آرنایت از پهنه‌ی گسلی ناغان که هیچگونه دگرشکلی شکنا یا شکل پذیری را نشان نمی‌دهد.

زمین دما‌سنجی بوسیله‌ی ریز ساختارهای کلسیت

با توجه به فراوانی سنگ‌های کربناتی در منطقه‌ی مورد بررسی، نمونه‌های کلسیت از تمامی روراندگی‌ها و پهنه‌های برشی در منطقه برداشت و بررسی شده‌اند. دانه‌های کلسیت در تمامی نمونه‌ها دارای ماکل‌های دگرشکلی فراوان بوده و لذا بر اساس هندسه و با استفاده از ریخت‌شناسخانی آن‌ها [۱۶، ۱۴] می‌توان شرایط دمایی دگرشکلی را در روراندگی‌ها تعیین و تغییرات آن را در منطقه بررسی کرد.

در نمونه‌هایی که از پهنه‌ی قاعده‌ای رو رانده‌ی بن به دست آمده (نمونه C1، شکل ۱) دانه‌های کلسیت دارای دو رشته ماکل مستقیم و ضخیم (Type II)، دارای بیشترین فراوانی (Type III) هستند. در این نمونه‌ها ماکل‌های گوهای و خمیده (Type IV) و منقطع (Type V) نیز دیده می‌شوند (شکل ۴ الف و ب) (جدول ۲). بر اساس این ساختارها، دمای دگرشکلی دانه‌های کلسیت در این نمونه‌ها تا بیش از ۲۵۰ درجه سانتی‌گراد برآورد شد. دانه‌های کلسیت از نمونه C2 از پهنه‌ی برشی گسل قاعده‌ای روراندی هفسنجان (شکل ۱) دارای ماکل‌های نوع II و نوع I هستند؛ ولی در آن‌ها ماکل نوع III دیده نمی‌شود (شکل ۴ ج) (جدول ۲). این نمونه‌ها دمای دگرشکلی کمتری نسبت به برگه‌ی بن و در حدود ۲۰۰ درجه‌ی سانتی‌گراد را نشان می‌دهند [۱۶ و ۱۴].

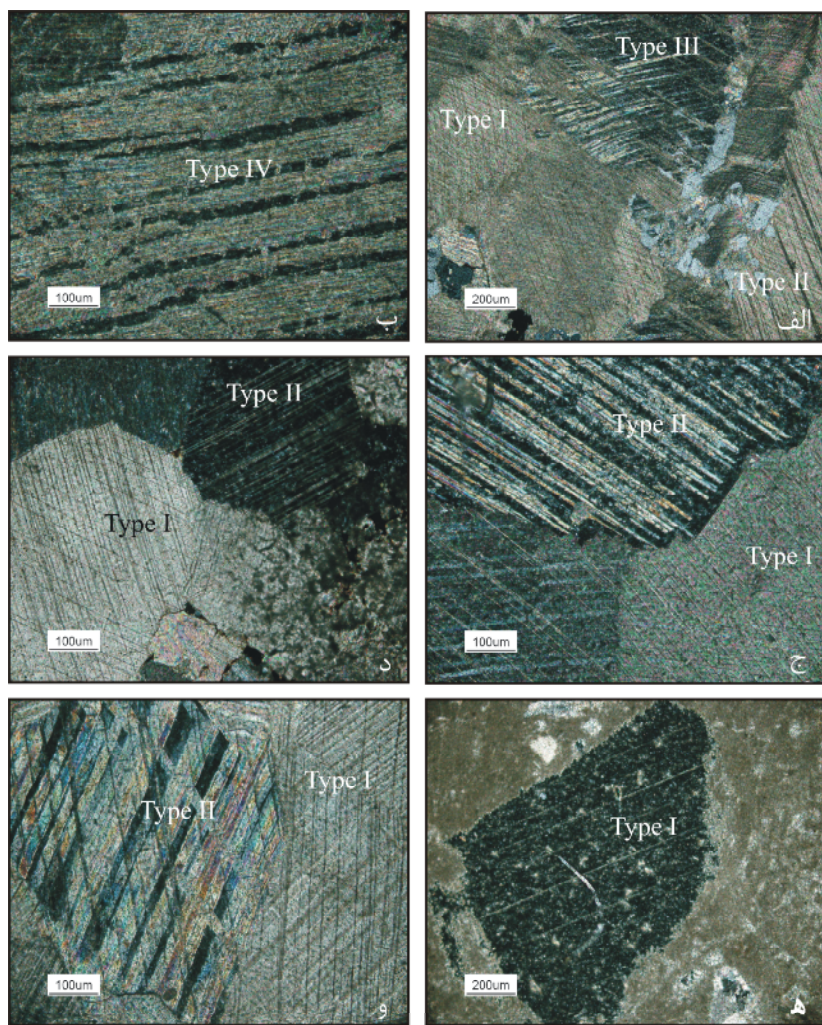
نمونه‌ی دیگری که از سنگ‌های آواری رورانده‌ی هفسنجان گرفته شده است که ساختارهای دگرشکلی کاملاً متفاوتی با نمونه Q1 تا Q3 نشان می‌دهد. این نمونه (نمونه Q4، شکل ۱) یک ماسه سنگ با سیمان کلسیتی است و گسترش ساختارهای کاتاکلاسیتی است. در این نمونه، انحلال فشاری گسترده، هم در سیمان کلسیتی و هم در دانه‌های کوارتز، دیده می‌شود. شکستگی درون دانه‌ای در دانه‌های کوارتز بسیار گسترده بوده و بسیاری از شکستگی‌ها با کلسیت ثانویه پر شده‌اند. دانه‌های کوارتز به ندرت خاموشی موجی و تیغه‌های دگرشکلی نیز نشان می‌دهند (شکل ۳^{۵)}). ساختارهای این نمونه به خوبی روانی کاتاکلاسیتی را در دماهای زیر ۲۵۰ درجه نشان می‌دهند.

بررسی و مقایسه‌ی ریزساختارهای کوارتز از بخش‌های شمال شرقی منطقه نشان می‌دهد که دمای دگرشکلی در این بخش به ندرت به بیش از ۳۰۰ درجه سانتی‌گراد می‌رسد. علاوه بر آن یک گرادیان دمایی ملایم در گستره‌ی روراندی بن و هفسنجان دیده می‌شود (جدول ۱). هرچند این داده‌ها نشان می‌دهند که خاستگاه راندگی‌ها در این بخش از کوهزاد زاگرس که حاشیه‌ی جنوب شرقی پهنه‌ی ساختاری سندنج-سیرجان را تشکیل می‌دهد، نسبتاً عمیق است، ولی شرایط بخش‌های داخلی یک کوهزادی را نیز نشان نمی‌دهد.

جدول ۱ مشخصات نمونه‌ها و ریزساختارهای مشاهده شده در بلورهای کوارتز از برگ‌ها و پهنه‌های رانده در منطقه‌ی مورد بررسی و دمایی که با استفاده از این ریزساختارها برآورد شده است.

Sample ID	Location	Description	Microstructures description	T (°C)
Q1	Ben thrust sheet Near Zayandehrud dam site	Quartz vein in schist	Core and mantle structure, sweeping and patchy extinction, large subgrains, new grains, extensive recrystallization, subgrain growth.	۳۵۰>
Q2	Ben thrust zone Bard-Shah village	Calcite+ quartz vein in low grade pelitic rocks	Abundant patchy and sweeping extinction, deformation bands, Subgrains, core and mantle structure, serrated and diffuse grain boundaries	~۳۰۰
Q4	Hafshejan thrust sheet Taghanak city	Cataclasitic sandstone	Extensive pressure solution particularly in calcite cement, widespread intracrystalline cracks, weak undulose	۲۵۰>

			extinction, deformation lamellae (rare).	
Q3	Hafshejan sheet West of the Marghmalek village	Quartz vein in very low grade pelitic rock	Patchy undulose extinction, abundant subgrains, fine new grains along grain boundaries, Intracrystalline cracks, negligible volumetric recrystallization.	۳۰>
Q5	Naghan thrust Zone Near Galoogerd village	Sandstone (quartz arenite)	No evidence of crystal plastic or brittle deformation was observed.	(?)



شکل ۴ ماکل‌های مکانیکی در نمونه‌های کلسیت از بخش‌های مختلف زاگرس مرتفع در منطقه‌ی بختیاری که کاهش دمای دگرشکلی از بخش‌های داخلی به خارجی کوهزاد زاگرس را نشان می‌دهند. (الف) ماکل‌های گوهای نوع III و انواع II و I در رگه‌ی کلسیتی از رورانده‌ی بن، نزدیکی روستای برد شاه. (ج) گسترش ماکل‌های نوع II و به مقدار کمتری نوع I دریک رگه‌ی کلسیت در رورانده‌ی هفچجان، نزدیکی روستای مصطفی آباد. (د) گسترش ماکل‌های نوع I و به طور محدود نوع II در سیمان کلسیتی پرکننده‌ی شکستگی‌های سنگ در رورانده‌ی فارسان. (ه) ماکل‌های دگرشکلی نوع I در کلسیت ثانویه پرکننده‌ی فضای خالی در رورانده‌ی اردل، نزدیکی ناغان و (و) ماکل‌های نوع I و II در پهنه گسلی سرخون (یکی از شاخه‌های راندگی بازفت)، نزدیکی روستای سرخون.

جدول ۲ فراوانی انواع مختلف ماکل‌های مکانیکی کلسیت بر حسب درصد و برآورد دمای دگرشکلی نمونه‌های برگه‌ها و پهنه‌های گسلی در منطقه‌ی مورد بررسی با استفاده از این ماکل‌ها.

Structural position	Type I	Type II	Type III	Type IV	T (°C)
Ben thrust sheet	-	۶۵	۲۵	۱۰	۲۵۰~
Ben fault zone	۱۵	۶۰	۲۰	۵	۲۵۰~
Hafshejan thrust sheet	۱۰	۸۰	۱۰	-	۲۰۰~
Hafshejan fault zone	۵۰	۵۰	-	-	۲۰۰~
Farsan FZ	۵۵	۴۵	-	-	۲۰۰~
Ardal thrust sheet	۱۰۰	-	-	-	۱۷۰<
Bazoft thrust sheet	۲۵	۷۵	-	-	۲۰۰~

از حداقل دمای تشکیل ادخال‌ها است [۱۹]) صورت گرفته است.

در نمونه‌های مورد بررسی سه گروه اصلی ادخال بر اساس خاستگاه، هندسه و نوع و رابطه فازهای مختلف آن‌ها شناسایی شدند (شکل ۵). نوع I که شاخص آن‌ها بزرگ بودن نسبی فاز بخار و داشتن مقداری CO_2 است، غالباً به صورت ادخال‌های ریز در ابعاد یک تا سه میکرون و به صورت نیمه شکل‌دار و گاهی بلور منفی ظاهر می‌شوند. انواع بزرگتر این نسل به ۵ میکرون نیز می‌رسند و معمولاً نیمه شکلدارند (شکل ۵ الف). این نسل از ادخال‌ها دمای همگونی بالاتری را (در فاز مایع) نسبت به انواع دیگر نشان می‌دهند و غلظت نمک در آن‌ها بیشتر از انواع دیگر است. ادخال‌های نوع I به خوبی دارای مشخصات ادخال‌های اولیه هستند [۱۹]. نوع II ادخال‌ها دارای هندسه‌ی مشابهی با نوع I هستند ولی فاز بخار در آن‌ها نسبت به نوع I بسیار کوچک است و در آن‌ها CO_2 نیز دیده نمی‌شود (شکل ۵ ب). این نوع ادخال دمای همگونی پائین‌تری نسبت به نوع I دارند. نوع III ادخال‌ها ثانویه هستند که با دو هندسه‌ی متفاوت ظاهر می‌شوند. گروهی از آن‌ها به صورت ادخال‌های بسیار ریز ($<2\mu\text{m}$) در راستای شکستگی‌های ترمیم شده تشکیل شده‌اند و اشکال کروی و گاهی کشیده دارند و فاز بخار فقط در برخی از آن‌ها قابل تشخیص است (شکل ۵ ج). برخی دیگر که در گستره‌های رشد ثانویه بلورها تشکیل شده‌اند دارای ابعاد بزرگ تا ۱۰ میکرون بوده و غالباً در فاز شاره هستند و تنها در برخی از آن‌ها فاز بخار به صورت محدود دیده نمی‌شود (شکل ۵ ج). بررسی این نمونه‌ها نشان‌دهنده دمای پائین‌تر همگونی آن‌ها نسبت به انواع دیگر است که گاهی به کمتر از ۱۰۰ درجه سانتی‌گراد می‌رسد (شکل ۶). بجز این سه گروه

در نمونه‌هایی که از پهنه‌ی خرد شده‌ی فارسان به دست آمده (نمونه C3، شکل ۱)، دانه‌های کلسیت، ماکلهای نوع I و نوع II را نشان می‌دهند که نشان دهنده دمای دگرشکلی کمتر از ۲۰۰ درجه برای این نمونه‌هاست (شکل ۴ د). دانه‌های کلسیت در رورانده‌ی اردل (نمونه C4، شکل ۱) نیز تنها دارای ماکلهای نوع I هستند (شکل ۴ ه) و شرایط دمایی دگرشکلی آن‌ها نزدیک به رورانده‌ی فارسان و کمتر از ۱۷۰ درجه سانتی‌گراد است [۱۴ و ۱۶] (جدول ۲).

دانه‌های کلسیت بررسی شده از پهنه‌ی برشی راندگی سرخون (نمونه C5، شکل ۱)، و یکی از شاخه‌های راندگی بازفت، بیشتر دارای ماکلهای از نوع II هستند، ولی نوع I نیز در آن‌ها دیده نمی‌شوند (شکل ۴ و). بر این اساس دمای دگرشکلی در این پهنه‌ی گسلی، کمی بیش از پهنه‌های گسلی فارسان و اردل و در حدود ۲۰۰ درجه برآورد سانتی‌گراد می‌شود [۱۴ و ۱۶].

زمین دماسنگی با استفاده از شاره‌های درگیر

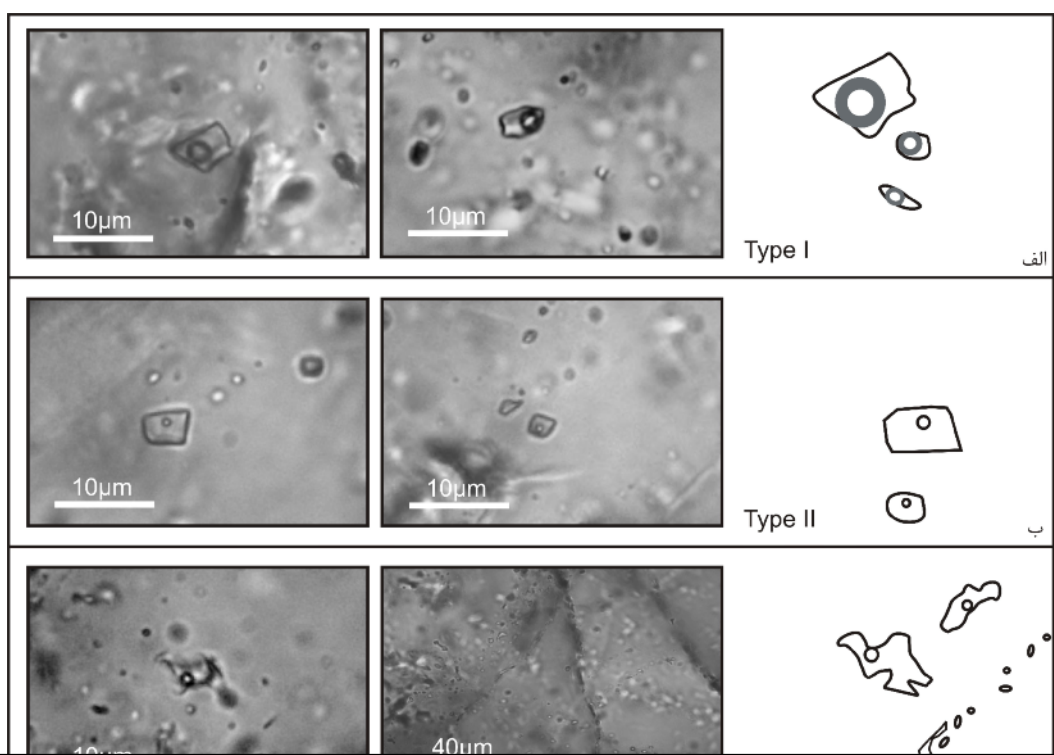
تعداد ۷ نمونه برای بررسی شاره‌های درگیر از رورانده‌ها و پهنه‌های برشی قاعده‌ای آن‌ها تهیه و بررسی شدند (نمونه‌های F1 تا F7، شکل ۱). از این میان، ۴ نمونه کربناتی از بخش‌های خارجی‌تر منطقه، فاقد ادخال‌های سیال قابل بررسی بودند (نمونه‌های F4 تا F7، شکل ۱). بین سه نمونه از رگه‌های کوارتز نیز تنها دو نمونه دارای ادخال‌های مناسب برای بررسی زمین‌گرمانسنجی بودند (نمونه‌های F1 و F3، شکل ۱). این نمونه‌ها از رگه‌های کوارتزی رورانده‌ی بن و هفشهجانند. بررسی میکروسکوپی برای شناخت هندسه و فازهای مختلف آبی، بخار و جامد درون ادخال‌ها و نیز بررسی دماسنگی روی نمونه‌ها برای تعیین درجه‌ی شوری و دمای همگونی آن‌ها (که برآورده

رسد که حین دگرشکلی در اثر تعادل دوباره‌ی ادخال‌های اولیه و تاثیر آبهای بین بلوری در مرز دانه‌ها یا زیردانه‌ها تشکیل شده و حین جابه‌جایی مرز بلور و تکامل زیر بلورها در درون بلورها قرار گرفته‌اند [۳۱].

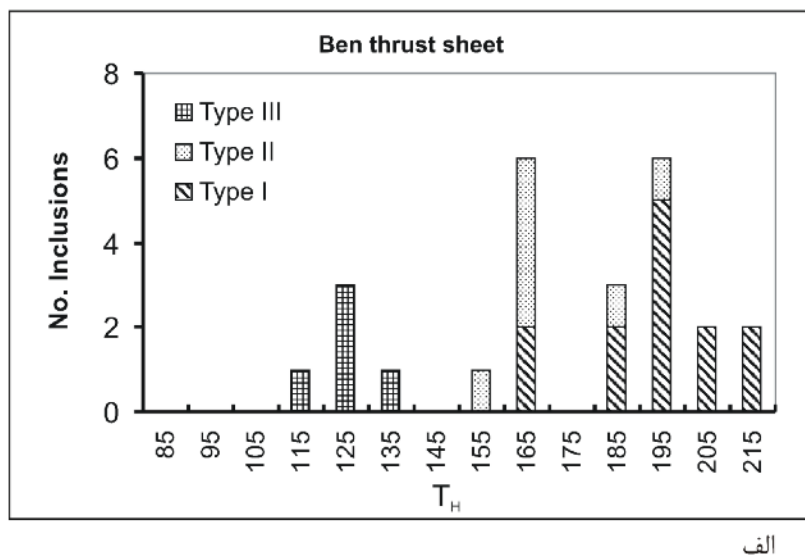
با توجه به دمای همگونی بسیار کم و تشکیل در راستای شکستگی‌های درون بلوری، به‌نظر می‌رسد که ادخال‌های نوع III در شرایط عمقی بسیار کمتری نسبت به انواع دیگر تشکیل شده و بیشتر شرایط شکنای دگرشکلی را نشان می‌دهند. به‌طور کلی نمونه‌های بررسی شده یک روند زمانی و مکانی (به‌سمت بخش خارجی) کاهش دما را نشان می‌دهند (جدول ۳). در هر یک از رورانده‌های ادخال‌های قدیمی‌تر (نوع I) دمای همگونی بالاتری دیده می‌شود و انواع جوانتر (نوع II و III) دمای کمتری دارند. به‌همین ترتیب ادخال‌های نوع I، II و III در رورانده‌ی بن دمای بالاتری از انواع مشابه خود در رورانده‌ی هفسچجان دارند و یک روند کم شدن دما به‌سمت بخش‌های خارجی کوهزاد زاگرس را نشان می‌دهند (جدول ۳). نمودار شوری نسبت به دما (شکل ۷) نشان می‌دهد که یک روند کلی کم شدن شوری و کم شدن دما در نمونه‌های بخش داخلی به خارجی کوهزاد دیده می‌شود. اختلاف شدید شوری نمونه‌هایی با دمای مشابه می‌تواند به عملکرد گسل در اختلاط شدید شاره حین دگرشکلی (Dilatancy Pumping) (شکل ۳۲) وابسته باشد. این پدیده در ریزساختارهای نمونه Q4 از رورانده‌ی هفسچجان (شکل ۱) که دارای ریزشکستگی‌های درون بلوری باز شده فراوان است نیز قابل مشاهده است (شکل ۳).

اصلی، انواع دیگری نیز به‌صورت بسیار محدود در نمونه‌ها مشاهده شدند. برخی از آن‌ها دارای فاز جامد (کانی دختر) در شاره هستند و در برخی نیز فاز جامد خارجی به تله افتاده است.

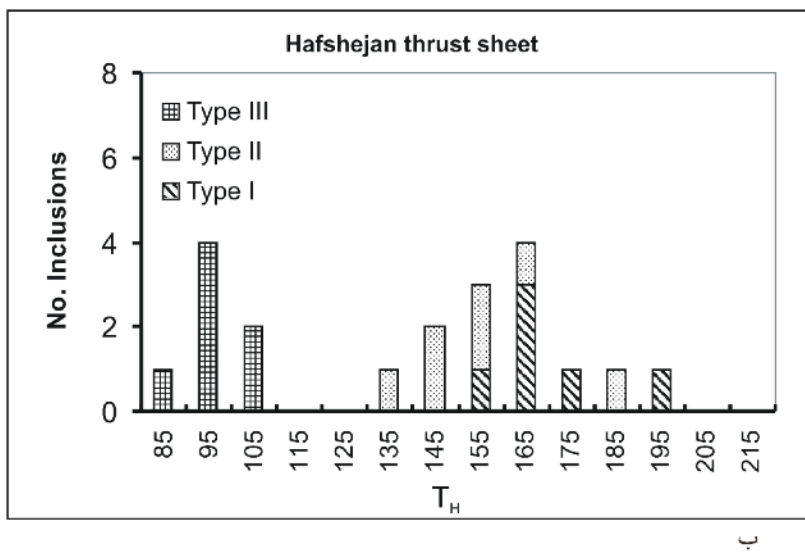
بررسی دمای همگونی نمونه‌ها نشان می‌دهد که این دما در تمامی نمونه‌ها از ۲۱۳ درجه‌ی سانتی‌گراد فراتر نمی‌رود (شکل ۶). ادخال‌های نوع I دارای بالاترین دمای همگونی هستند و در رورانده‌ی بن دمای بالاتری را نسبت به رورانده‌ی هفسچجان نشان می‌دهند (شکل ۶). این دما با دمای بدست آمده از ریزساختارهای کوارتز و کلسیت همخوانی دارد (به بخش ۱-۳ و ۲-۳ مراجعه شود). دمای میانگین همگونی این نوع ادخال‌ها در رورانده‌ی هفسچجان در حدود ۳۰ درجه‌ی سانتی‌گراد کمتر از رورانده‌ی بن است (جدول ۳). ادخال‌های نوع II، هم در برگه‌ی بن و هم در برگه‌ی هفسچجان دمای همگونی کمتری را نسبت به نوع I نشان می‌دهند. ادخال‌های نوع III که ثانویه‌اند، و دمای همگونی بسیار کمتری را نسبت به انواع دیگر نشان می‌دهند (شکل ۶). با توجه به حضور آن‌ها در شکستگی‌های درون بلوری و دمای کم همگونی، به‌نظر می‌رسد که این نوع از ادخال‌ها در شرایط کم عمق‌تری از دگرشکلی تشکیل شده‌اند. حضور CO_2 در ادخال‌های نوع I نشان‌دهنده دمای بالاتر تشکیل و گستردگی بیشتر دگرشکلی پلاستیک در آن‌هاست [۳۱]. همچنین این نوع از ادخال‌ها غلظت نمک بیشتری را نشان می‌دهند (شکل ۷) که نشان‌دهنده عمق بیشتر تشکیل و تاثیر کمتر آبهای جوی در تشکیل آنهاست. ادخال‌های نوع II در بلورهای با دگرشکلی پلاستیک دیده می‌شوند و به‌نظر می-



شکل ۵ سه نوع اصلی از ادخال‌های سیال در نمونه‌های مورد بررسی. الف) نوع I با شکل منظم و فاز بخار بزرگتر، اولیه بوده و دمای بالاتری را نشان می‌دهند. ب) نوع II ادخال با شکل منظم، به اندازه‌ی فاز بخار این نوع در مقایسه با نوع I دقیق‌تر است. ج) نوع III با شکل نامنظم که با در اثر دگرشکلی از ادخال‌های I و II به وجود آمده یا در راستای شکستگی‌های ترمیم شده تشکیل شده‌اند.



الف

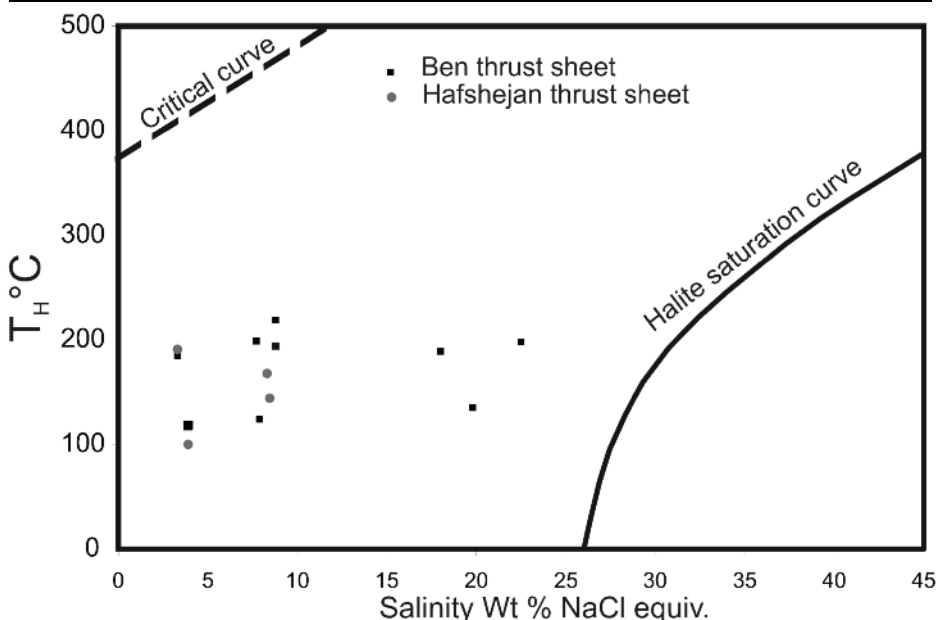


ج

شکل ۶ دمای همگونی انواع مختلف ادخال‌های سیال در نمونه‌های بررسی شده در (الف) رورانده‌ی بن و (ب) رورانده‌ی هفشجان. به بالاتر بودن دمای همگونی ادخال‌ها در نمونه‌های رورانده‌ی بن و نیز به بالاتر بودن دمای همگونی ادخال‌های نوع I نسبت به انواع دیگر دقیق‌تر است.

جدول ۳ مقایسه‌ی دمای همگونی (T_H)، دمای انجماد (T_F) و شوری در سه نوع اصلی شاره‌های درگیر در رورانده‌های بن و هفشجان. به کاهش عمومی دمای همگونی و نیز شوری شاره‌های درگیر از راندگی بن به هفشجان و نیز از ادخال‌های نوع I به III توجه کنید. برای مشخصات انواع مختلف ادخال به بخش ۳-۳ مراجعه کنید.

	Type I	Type II	Type III	
Ben thrust sheet	۱۹۶	۱۶۸	۱۲۴	Average T_H (°C)
Hafshejan thrust sheet	۱۷۲	۱۵۱	۹۶	
Ben thrust sheet	-۱۶,۸	-۵,۰	-۱,۸	Average T_F (°C)
Hafshejan thrust sheet	-۵,۲	-۵,۰	-۱,۷	
Ben thrust sheet	۲۰,۵	۸,۳	۳,۷	Average Salinity ‰ ۳۰/ ۳۲,۶۱
Hafshejan thrust sheet	۸,۴	۸,۳	۳,۶	



شکل ۷ دمای همگونی نسبت به درجه‌ی شوری نمونه‌هایی که در آن‌ها هم انجماد و هم همگونی صورت گرفته است. علیرغم تغییرات نه چندان زیاد در دمای همگونی، شوری نمونه‌ها تغییرات فاحشی نشان می‌دهند که می‌تواند بهدلیل گردش شدید شاره‌ها در اثر جابه‌جایی گسل حین دگرشكلي و اختلاط آبه‌های جوی باشد.

پوسته‌ی نازک همخوانی دارد. به طوری که ساختارهای دگرشكلي در پهنه‌های برشی قاعده‌ای این برگه‌ها کاملاً شکنا بوده و تحلیل دمای دگرشكلي با استفاده از ماکلهای کلسیت با دمای بسیار پائین دگرشكلي (در گستره‌ی ۲۰۰ درجه سانتی‌گراد یا کمتر) و نیز یک گراديان دمایی ملایم از بخش درونی به بخش خارجی را نشان می‌دهد (جدول ۲). این داده‌ها با تحلیل ساختاری رورانده‌ها (شکل ۲)، که نشان‌دهنده‌ی عدم درگیری بی‌سنگ در دگرشكلي این رورانده‌هاست، همخوانی دارد. در بخش‌های داخلی‌تر زاگرس، لبه‌ی جنوب غربی پهنه‌ی ساختاری سنتندج-سیرجان و شمال شرقی

بحث و بررسی

بررسی شرایط دمایی دگرشكلي رورانده‌ها در گستره مورد بررسی و در گذر از بخش درونی بهبیرون کوهزاد زاگرس با ساختارهای دگرشكلي کانی‌های کوارتز و کلسیت و استفاده از شاره‌های درگیر نشان می‌دهد که به طور کلی دمای دگرشكلي در این بخش از زاگرس بالا نبوده و شرایط دگرشكلي تنها در بخش‌های داخلی‌تر (رورانده‌های بن و هفشجان) به شرایط درجه پائین دگرگونی نزدیک می‌شود. شرایط دگرشكلي در بخش‌های خارجی‌تر زاگرس (رورانده‌های فارسان-بازفت)، با شرایط دمایی دگرشكلي کمربندهای چین خورده-رانده‌ی

دارای اختلاف قابل ملاحظه‌ای نیستند. دمای دگرشکلی به طور عمومی از بخش داخلی به خارجی کاهش می‌باید ولی تغییر ناگهانی در این راستا روی نمی‌دهد. شرایط دگرشکلی در حاشیه‌ی جنوب غربی پهنه‌ی ساختاری سنتنچ-سیرجان شبیه به این منطقه گذار از بخش داخلی به خارجی کوهزاد زاگرس است و با بخش‌های خارجی کوهزاد اختلاف چندانی ندارد. بر اساس این داده‌ها، به نظر می‌رسد که زاگرس مرتفع شرایط بخش خارجی یک کمربند چین خورده- رانده را با طبیعت نازک پوسته نشان می‌دهد در حالی که منطقه‌ی بین رورانده‌های بن و هفشجان که به عنوان حاشیه‌ی جنوب غربی پهنه‌ی ساختاری سنتنچ-سیرجان در نظر گرفته می‌شود- ویژگی‌های یک گستره‌ی حدواسط را دارد. بنابراین رورانده‌ی فارسان یا گسل اصلی معکوس زاگرس که به عنوان زمیندرز مرز برگه‌ی عربی با ایران مرکزی در نظر گرفته می‌شود چنین ویژگی را نداشته و انتقال از پهنه‌ی ساختاری سنتنچ-سیرجان به عنوان بخش داخلی به زاگرس مرتفع یا بخش خارجی کوهزاد زاگرس ناگهانی نبوده و به صورت پهنه‌ی انتقالی است که از یک سیستم رانده تشکیل شده که بطور جزئی پی سنگ نیز در آن درگیر می‌باشد.

مراجع

- [1] Coward M. P., "Balancing sections through inverted basins", Geological Society of London Special Publications 99 (1996) 51-77.
- [2] Hatcher R. D. Jr., "Confirmation of Thin-skinned Thrust Faulting in Foreland Fold-Thrust Belts and Its Impact on Hydrocarbon Exploration: Bally, Gordy, and Stewart, Bulletin of Canadian Petroleum Geology, 1966", American Association of Petroleum Geologists article 70034 (2007) 4 p.
- [3] Tozer R., Butler R.W.H., Corrado S., "Comparing thin-and thick-skinned thrust tectonic models of the Central Apennines, Italy", In: Bertotti, G., Schulmann, K., Cloetingh, S.A.P.L. (eds.), Continental collision and the tectono-sedimentary evolution of forelands, EGU Stephan Mueller Special Publication Series 1 (2002) 181-194.
- [4] Hubbert M.K., Rubey W., "Role of fluid pressure in mechanics of overthrust faulting", Geological Society of America Bulletin 70 (1959) 115-205.
- [5] Müller W.H., Hsü K.J., "Stress Distribution in overthrusting slabs and mechanics of Jura

راندگی فارسان، ساختارهای دگرشکلی کوارتز و کلسیت شرایط دمایی بالاتری را نشان می‌دهند؛ با این شرایط دگرشکلی این رورانده مشابه انواع آن‌ها در کمربند چین خورده- رانده‌ی سترپ پوسته نیست. شرایط دمایی دگرشکلی در این بخش بیشتر مشابه شرایط گستره‌ی گذار از بخش داخلی به خارجی کوهزاد است که در آن پی‌سنگ نیز به طور محدود درگیر دگرشکلی می‌شود.

در گذار از راندگی‌های بخش‌های داخلی به خارجی کوهزاد زاگرس در منطقه‌ی بختیاری یک کاهش ملایم در دمای دگرشکلی دیده می‌شود ولی هیچ‌گونه جهش ناگهانی در دمای دگرشکلی در گذار از این راندگی‌ها مشاهده نمی‌شود (جدول ۲). این نشان‌دهنده پیوستگی ساختاری حاشیه‌ی جنوب غربی پهنه‌ی سنتنچ-سیرجان و کمربند چین خورده- رانده‌ی زاگرس در گذار از زاگرس مرتفع در منطقه‌ی بختیاری است. با این حال سنگ‌های با شرایط دگرشکلی بسیار پائین (کاتاکلاسیت) در گستره‌ی بین راندگی‌های بن و هفشجان از این قاعده پیروی نمی‌کنند (شکل ۳ ه) و شرایط و دمای دگرشکلی پائینتری را نشان می‌دهند. شواهد ساختاری و داده‌های ژئوفیزیکی نشان می‌دهند که در این گستره‌ی یک سیستم راندگی دوگانه با سطح جدایش قاعده‌ای کم عمق گسترش یافته است. این سنگ‌های کاتاکلاسیتی در این گستره‌ی راندگی محلی کم عمق، دگرشکل شده‌اند. همچنین در گستره‌ی راندگی بازفت افزایش خفیفی در دمای دگرشکلی نسبت به راندگی اردل و فارسان دیده می‌شود که با پیدایش دوباره‌ی ماکله‌ای کلسیت نوع II در این پهنه گسلی مشخص می‌شود (جدول ۲). به نظر می‌رسد این تغییر که از روند عمومی کاهش دما به سمت جنوب غربی پیروی نمی‌کند، در اثر بیشتر شدن عمق پی سنگ در این گستره و یا درگیری جزئی پی سنگ در راستای این گسل ایجاد شده باشد (شکل ۲). با این حال باید توجه داشت که این افزایش دما بسیار خفیف بوده و سازوکار دگرشکلی در پهنه‌ی گسلی بازفت نیز کاملاً شکناست.

برداشت

بررسی زمین‌دماستنجی دگرشکلی در منطقه‌ی بختیاری واقع در منطقه‌ی گذار از بخش داخلی به خارجی کوهزاد زاگرس نشان می‌دهد که شرایط فیزیکی دگرشکلی در زاگرس مرتفع و حاشیه‌ی جنوب غربی پهنه‌ی ساختاری سنتنچ-سیرجان

- [15] Hirth G., Tullis J., "Dislocation creep regimes in quartz aggregates", *Journal of Structural Geology* 14 (1992) 145-159.
- [16] Burkhard M., "Calcite twins, their geometry, appearance and significance as stress-strain markers and indicators of tectonic regime: a review", *Journal of Structural Geology* 15(1993) 351-368.
- [17] Hollister L. S., Burruss R. C., Henry D. L., Hendel E. M., "Physical conditions during uplift of metamorphic terranes as recorded by fluid inclusions", *Bulletin Societe France, Mineralogie Crystallographie* 102 (1979) 555-561.
- [18] Yonkee W.A., Parry W.T., Bruhn R.L., Cashman P.C., "Thermal models of thrust faulting: Constraints from fluid inclusion observations, Willard thrust sheet, Idaho-Utah-Wyoming thrust belt", *Geological Society of America Bulletin* 101 (1989) 304-313.
- [19] Shepherd T. J., Rankin A.H., Alderton D.H.M., "A practical guide to fluid inclusion studies", Chapman & Hall (1985) 239p.
- [20] Nemati M., Yassaghi A., Kamali M.R., "Geometry and Kinematics of thrust sheets in the High Zagros zone at Bakhtyari area, Iran", Proceedings of 33rd International Geological Congress, Oslo (2008) session STT-06.
- [21] Nemati M., Yassaghi A., "Structural characteristics of the transitional zone from internal to external parts of the Zagros orogen, Iran", *Asian Journal of Earth Sciences* 39 (2010) 161-172.
- [22] NIOC, "Geological Map of Iran, Sheet No. 4, South-West Iran", National Iranian Oil Company, Exploration and Production Affairs (1975), Scale 1:1,000,000.
- [23] Zahedi M., Samadian M., Tatevosian Sh., Amidi M., "Geological map of Esfahan", Geological Survey of Iran (1978), Scale 1:250,000.
- [24] Zahedi M., Vaezipour J., Rahmati Ilkhchi M., "Geological map of Shhrekord", Geological Survey of Iran (1993), Scale 1:250,000.
- [25] Ghasemi A., Hajhosseini A., Hosseini M., "Geological map of Chadegan", Geological Survey and Mineral Exploration of Iran (2006), Scale 1:100,000.
- [26] Davoudian A. R., Genser J., Dachs E., Shabanian N., "Petrology of eclogites from north of Shahrekord, Sanandaj-Sirjan Zone, Iran", deformation", *Rock Mechanics, Supplement* 9 (1980) 219-232.
- [6] Harris L. D., Milici R. C., "Characteristics of thin-skinned style of deformation in the southern Appalachians, and potential hydrocarbon traps", U.S. Geological Survey Professional Paper 1018 (1977) 40 p.
- [7] Gilotti J.A., Kumpulainen R., "1986, Strain softening induced ductile flow in the Särv thrust sheet, Scandinavian Caledonides", *Journal of Structural Geology* 8 (1986) 441-455.
- [8] Yassaghi A., James P. R., Flöttmann T., "Geometric and kinematic evolution of asymmetric ductile shear zones in thrust sheets, southern Adelaide Fold-Thrust Belt, South Australia", *Journal of Structural Geology* 22 (2000) 889-912.
- [9] Schmid S.M., "Microfabric studies as indicators of deformation mechanisms and flow laws operative in mountain building", In: Hsü , K.J. (Ed.), *Mountain Building Processes*, Academic Press, London (1982) 95-110.
- [10] Yassaghi A., James P. R., Flöttmann T., Winsor C. N., "P-T conditions and kinematics of shear zones from the southern Adelaide Fold-Thrust Belt, South Australia: insights into the dynamics of a deeply eroded orogenic wedge", *Australian Journal of Earth Sciences* 51 (2004) 301-317.
- [۱۱] مفیدی ا., یساقی ع., رحیمی ب., "تحلیل کرنش و ریزساختارهای کوارتز در برآورد خاستگاه و شرایط دگرشكلي برگه‌های راندگی البرز شرقی", مجله بلورشناسی و کانی شناسی ایران, شماره ۱ (۱۳۸۶) ص ۲۲-۳
- [12] O'Hara K.D., Haak A., "A fluid inclusion study of fluid pressure and salinity variations in the footwall of the Rector Branch thrust, North Carolina, U.S.A", *Journal of Structural Geology* 14 (1992) 579-589.
- [13] Webe J. C., Ferrill D.A., "Roden-Tice, M.K.", Calcite and quartz microstructural geothermometry of low-grade metasedimentary rocks, Northern Range, Trinidad", *Journal of Structural Geology* 23 (2001) 93-212.
- [14] Ferrill D.A., Morris A.P., Evans M.A., Burkhard M., Groshong R.H. Jr, Onasch C.M., "Calcite twin morphology: a low-temperature geothermometer", *Journal of Structural Geology* 26 (2004) 1521-529.

Mineralogy and Petrology (2007) 21p., DOI 10.1007/s00710-007-0204-6.

[27] BP, "Geological Map of Isfahan", British Petroleum Company Ltd., Survey Branch (1963), Scale 1:250,000.

[28] Boyer S.E., Elliott D., "Thrust systems", American Association of Petroleum Geologists Bulletin 66 (1982) 1196-1230.

[29] Berberian M., "Master "blind" thrust faults hidden under the Zagros folds: active basement tectonics and surface morphotectonics", Tectonophysics, 241, 1995, p. 193-224.

[30] Stipp M., Stünitz H., Heilbronner R., Schmid S.M., "The eastern Tonale fault zone: a 'natural laboratory' for crystal plastic deformation of quartz over a temperature range from 250 to 700 °C". Journal of Structural Geology 24 (2002) 1861-1884.

[31] Hollister L.S., "Enrichment of CO₂ in fluid inclusions in quartz by removal of H₂O during crystal-plastic deformation", Journal of Structural Geology 12 (1990) 895-901.

[32] McCaig A. M., Tritlla J., Banks D. A., "Fluid mixing and recycling during Pyrenean thrusting: evidence from fluid inclusion halogen ratios", Geochimica et Cosmochimica Acta 64 (2000) 3395-3412.